

ИНСТИТУТ ЯДЕРНОЙ ФИЗИКИ
СО АН СССР

10

В.Н.Иванченко, Э.А.Кураев, В.С.Фадин

ОБ ОДНОМ МЕХАНИЗМЕ ОБРАЗОВАНИЯ
СТРУЙ В e^+e^- АННИГИЛЯЦИИ

ПРЕПРИНТ ИЯФ 79 - 13

Новосибирск

ОБ ОДНОМ МЕХАНИЗМЕ ОБРАЗОВАНИЯ СТРУЙ В e^+e^-
АННИГИЛЯЦИИ

В.Н.Иванченко, Э.А.Кураев, В.С.Фадин

Изучено образование трех глюонов при аннигиляции e^+e^- пары при высоких энергиях в однофотонном канале по механизму рассеяния света на свете. Приводятся численные оценки для распределения в Далиц-плоскости. Проводится сравнение с процессом аннигиляции e^+e^- в пару кварк-антикварк с дополнительным глюоном. Показано, что второй механизм образования трех струй превалирует над первым во всех областях Далиц-плоскости.

Отличие амплитуд e^+e^- аннигиляции в триглюоне по механизму рассеяния света светом (рис. Ia) от вклада соответствующей диаграммы в QED в амплитуду процесса $e^+e^- \rightarrow 3\gamma$ заключается в дополнительном множителе $T_2 t^\alpha t^\beta t^\gamma = (d_{abc} + i f_{abc})/4$,

где $t_\alpha = \lambda_\alpha/2$ — генераторы цветной группы $SU(3)$, которые согласно правилам Фейнмана сопоставляются вершинам с испусканием глюона. Здесь d_{abc} и f_{abc} — симметричная и антисимметрическая по цветовым индексам α, β, γ структуры. В силу антисимметричности f_{abc} выпадает в сумме амплитуд, отличающихся направлением фермионной линии в петле на рис. Ia. Таким образом, в отличие от QED , в сечении процесса образования трех глюонов, просуммированного по их цветовым степеням свободы возникает лишь множитель $d_{abc}^2/16 = 5/6$. Квантовомеханическое рассмотрение процессов с участием четырех фотонов в наиболее полной форме было проведено в работе Константини, Де Толлиса и Пистони /I/, чьими результатами мы и пользуемся в настоящей работе.

Вычисления ниже мы проведем для случая QED , а переход к QCD сделаем в конечном выражении. Дифференциальное сечение имеет вид (/I/, (76), (66)).

$$d\sigma = \frac{e^5}{2^7 \pi^4 s^3} \sum |M|^2 \frac{d^3 k_2 d^3 k_3 d^3 k_4}{w_2 w_3 w_4} \delta^{(4)}(p_+ + p_- - k_2 - k_3 - k_4), \quad (I)$$

$$\delta = 4\varepsilon^2, \sum |M|^2 = 2 \left[|M_{+++}|^2 + |M_{++-}|^2 + |M_{+-+}|^2 + |M_{-++}|^2 \right].$$

Входящие в (I) выражения для $|M_{\lambda_2 \lambda_3 \lambda_4}|^2$ могут быть преобразованы к виду

$$|M_{\lambda_2 \lambda_3 \lambda_4}|^2 = \hat{\rho}_+ \hat{\gamma}_r \hat{\rho}_- \hat{\gamma}_v G_\mu^{\lambda_2 \lambda_3 \lambda_4} (G_\nu^{\lambda_2 \lambda_3 \lambda_4})^* = 2 \delta_{\mu\nu}^1 G_\mu^{\lambda_2 \lambda_3 \lambda_4} (G_\nu^{\lambda_2 \lambda_3 \lambda_4})^*,$$

где величины $G_\mu^{\lambda_2 \lambda_3 \lambda_4}$ даются выражением (/I/, (64))

$$G_\mu^{\lambda_2 \lambda_3 \lambda_4}(234) = \frac{i}{4\sqrt{2\Delta}} \left\{ E_{\lambda_2 \lambda_3 \lambda_4}^{(1)}(234) \left(k_3 - \frac{\gamma_3}{\gamma_2} k_2 \right)_\mu - E_{\lambda_2 \lambda_3 \lambda_4}^{(1)}(243) \left(k_4 - \frac{\gamma_4}{\gamma_2} k_2 \right)_\mu \right\}, \quad (2)$$

$$+ E_{\lambda_2 \lambda_3 \lambda_4}^{(2)}(234) \cdot i \varepsilon_{\mu\rho\gamma} q^\rho k_2^\mu k_3^\gamma \}, \quad q = p_+ + p_-, \quad \Delta = \varepsilon^6 (H_2)(H_3)(H_4), \quad \gamma_i = \frac{w_i}{\varepsilon},$$

а величины $E_{\lambda_2 \lambda_3 \lambda_4}^{(1,2)}(234)$ приведены в приложении I. Наша цель - получить распределение по долям энергий y_2, y_3, y_4 конечных глюонов. Мы придем к ней двумя путями. Один из них позволяет попутно получить возможно имеющее интерес распределение по угловым переменным. Для этого запишем фазовый объем конечных частиц в виде:

$$\frac{d^3 k_2 d^3 k_3 d^3 k_4}{w_2 w_3 w_4} \delta^{(4)}(\rho_t + \rho_- - k_2 - k_3 - k_4) = \pi^3 dy_2 dy_3 \frac{dz_2 dz_3}{\sqrt{\mathcal{D}_{23}}} - \pi^3 dk_3 dy_4. \quad (3)$$

$$\frac{dz_3 dz_4}{\sqrt{\mathcal{D}_{23}}} = \pi^3 dy_4 dy_2 \frac{dz_2 dz_3}{\sqrt{\mathcal{D}_{23}}}, \quad \mathcal{D}_{23} = 1 - z_2^2 - z_3^2 - C_{23}^2 + 2z_2 z_3 C_{23},$$

где $\vec{z}_i = \cos(\vec{k}_i, \vec{p}_-)$ - косинусы углов вылета конечных глюонов к оси пучка (\vec{p}_-), $C_{ik} = \cos(\vec{k}_i, \vec{k}_k)$ - косинус угла в \mathcal{U}_x -системе между импульсами k_{-20} и k_{-20} глюона. Из законов сохранения можно получить: $C_{23} = 1 - 2(y_4)/y_2 y_3$. Искомое распределение получается подстановкой в (I) выражений (2) и (3), где

$$G_\mu^{(\lambda_2 \lambda_3 \lambda_4)} G_\nu^{(\lambda_2 \lambda_3 \lambda_4)*} \delta_{\mu\nu}^\perp = \frac{2}{(W_2)(W_3)(W_4)} \left\{ \left[4 \frac{y_3}{y_2} (W_4) - y_3^2 (z_3^2 - z_2^2) \right] \left| \sum_{\lambda_2 \lambda_3 \lambda_4}^{(1)} (234) \right|^2 + \right. \quad (4)$$

$$+ \left[4 \frac{y_4}{y_2} (W_3) - y_4^2 (z_2^2 - z_4^2) \right] \left| \sum_{\lambda_2 \lambda_4 \lambda_3}^{(1)} (243) \right|^2 - 2 \left[4 \frac{(W_3)(W_4)}{y_2} - y_3 y_4 (z_3^2 - z_2^2)(z_4^2 - z_2^2) \right] \times \\ \times \sum_{\lambda_2 \lambda_3 \lambda_4}^{(1)} (234) \left(\sum_{\lambda_2 \lambda_4 \lambda_3}^{(1)} (243) \right)^* + \left[4(W_2)(W_3)(W_4) - y_2^2 y_3^2 \mathcal{D}_{23} \right] \left| \sum_{\lambda_2 \lambda_3 \lambda_4}^{(2)} (234) \right|^2 \right\},$$

$$\sum_{\lambda_2 \lambda_3 \lambda_4}^{(1)} (234) = \frac{1}{8 \varepsilon^2} E_{\lambda_2 \lambda_3 \lambda_4}^{(1)} (234), \quad \sum_{\lambda_2 \lambda_3 \lambda_4}^{(2)} (234) = \frac{1}{4} E_{\lambda_2 \lambda_3 \lambda_4}^{(2)} (234).$$

Дальнейшее интегрирование по z_2, z_3 по области $\mathcal{D}_{23} > 0$ является элементарным. К примеру:

$$\int_{-1}^1 dz_2 \int_{-z_2}^{z_2} \frac{dz_3}{\sqrt{\mathcal{D}_{23}}} = 2\pi, \quad \int dz_2 \frac{(z_2 - z_3)^2}{\sqrt{\mathcal{D}_{23}}} = \frac{4\pi}{3} (1 - C_{23}), \quad \int dz_2 \sqrt{\mathcal{D}_{23}} = \frac{2\pi}{3} (1 - C_{23}^2),$$

$$\int dz_2 \frac{(z_3 - z_2)(z_4 - z_2)}{\sqrt{\mathcal{D}_{23}}} = \frac{4\pi}{3} \frac{1}{y_4} (1 - C_{23}).$$

В результате приходим к распределению в Далиц-плоскости:

$$\frac{d^2 \sigma}{dy_2 dy_3} = \frac{\omega^5}{3\pi^2 \beta} \frac{1}{(W_2)(W_3)(W_4)} \left[A_{+++}(234) + A_{-++}(234) + A_{+-+}(234) + A_{++-}(234) \right],$$

$$A_{\lambda_2 \lambda_3 \lambda_4}^{(1)} (234) = \frac{y_3 (W_4)}{y_2} \left| \sum_{\lambda_2 \lambda_3 \lambda_4}^{(1)} (234) \right|^2 + \frac{y_4 (1-y_3)}{y_2} \left| \sum_{\lambda_2 \lambda_4 \lambda_3}^{(1)} (243) \right|^2 - \\ - 2 \operatorname{Re} \sum_{\lambda_2 \lambda_3 \lambda_4}^{(1)} (234) \sum_{\lambda_2 \lambda_4 \lambda_3}^{(1)*} (243) \frac{(W_3)(W_4)}{y_2} + (W_2)(W_3)(W_4) \left| \sum_{\lambda_2 \lambda_3 \lambda_4}^{(2)} (234) \right|^2. \quad (5)$$

Этот результат можно было бы получить и минуя распределение по z_i, y_i (4). Для этого заметим, что токовый тензор начальных электрона и позитрона $G_{\mu\nu} = \delta_{\mu\nu} P_+ \gamma_\mu P_- \gamma_\nu$ также как и величина $G_\mu G_\nu^*$ удовлетворяют закону сохранения тока: $q_\mu G_\mu = 0, q_\mu G_{\mu\nu} = 0, q_\mu = (P_t + P_-)_\mu$. Усредненный по угловым переменным тензор $G_\mu G_\nu^*$ может зависеть лишь от $g_{\mu\nu}$ и $q_\mu q_\nu$. С условием сохранения тока это дает:

$$\overline{G_\mu G_\nu^*} = \frac{1}{3} \left(g_{\mu\nu} - \frac{q_\mu q_\nu}{q^2} \right) G_\lambda G_\lambda^*. \quad (6)$$

Далее, поскольку токовый тензор тоже калибровочно-инвариантен, величину $q_\mu q_\nu$ можно в (6) опустить. Свертка $G_\lambda G_\lambda^*$ является функцией лишь y_i . Интегрирование же фазового объема дает немедленно:

$$\int \frac{d^3 k_2 d^3 k_3 d^3 k_4}{w_2 w_3 w_4} \delta^{(4)}(\rho_t + \rho_- - k_2 - k_3 - k_4) = 2\pi^2 \delta dy_2 dy_3 dy_4 \delta(y_2 + y_3 + y_4 - 2).$$

Выражение (5) удобно записать в явно симметричном виде, пользуясь связями $E_{\lambda\lambda\lambda}^{(1,2)} (/I/, (68); (см. Приложение I)).$ Окончательный вид распределения в Далиц-плоскости процесса $e^+ e^- \rightarrow 3g$:

$$\frac{d^2 \sigma^{e^+ e^- \rightarrow 3g}}{dy_2 dy_3} = \frac{\omega^2 d\beta^3}{3! 3\pi^2 \beta} \frac{5}{6} Q_q^2 \left[R(423) + R(342) + R(234) \right], \quad (7)$$

$$R(234) = R(243) = \frac{1}{3} \left| \sum_{-++}^{(1)} (234) \right|^2 + \left| \sum_{+++}^{(2)} (234) \right|^2 + \frac{y_2}{y_3 y_4 (1-y_2)} \left| \sum_{-+-}^{(1)} (234) \right|^2 + \\ + \frac{1}{y_2^2} \left| \sum_{+++}^{(1)} (234) + \sum_{+++}^{(1)} (243) \right|^2 + \frac{(W_3)(W_4)}{y_2^2 (W_2)} \left| \frac{\sum_{+++}^{(1)} (234)}{1-y_3} - \frac{\sum_{+++}^{(1)} (243)}{1-y_4} \right|^2.$$

Величины $\sum_{\lambda_2 \lambda_3 \lambda_4}^{(1,2)} (234)$ несколько громоздки. Они приводятся в приложении I. Мы ввели в (7) множитель $1/3!$, учитываяший тождественность глюонов, предполагая дальнейшее интегрирование по y_i . Множитель $5/6$ представляет, как говорили выше, учет цвета: $(1/16)d_{abc}^2 = 5/6$. Множитель Q_q^2 есть квадрат заряда кварка в единицах e . Протабулированное выражение (7) представлено на диаграмме Далица для $\varepsilon/m = 1$ (рис.2). Мы приведем еще выражение для вклада в распределение по y_2, y_3 , соответствующего легким кваркам ($m/\varepsilon \rightarrow 0$) для $y_i \sim 1, 1-y_i \sim 1$. При этом выражения для амплитуд $\Sigma^{(i)}$ оказываются реальными и не содержат "больших" логарифмов ($\ln(\varepsilon/m)$), (рис.3, рис.5):

$$\begin{aligned} R(234) \rightarrow \tilde{R}(234) = & \frac{4}{3} + \left[\frac{2(H_3)}{Y_3(H_2)} (2Y_3 + Y_2 - 1) b_S + \frac{2(H_4)}{Y_4(H_2)} (2Y_4 + Y_2 - 1) b_t - \right. \\ & - \left(\frac{2Y_2}{1-Y_2} + \frac{4(H_3)(H_4)}{(H_2)^2} \right) \alpha \Big] ^2 + \frac{1}{Y_2^2} \left\{ \frac{2(H_3)(H_4)(2Y_2)}{Y_3 Y_4} + \frac{2(H_3)}{Y_3^2(H_2)} [Y_3(Y_3 - \right. \\ & - Y_4)(H_2) + 2(H_4)(H_2 + Y_3)] b_S + \frac{2(H_4)}{Y_4^2(H_2)} [Y_4(Y_4 - Y_3)(H_2) + 2(H_3)(1-Y_2 + Y_4)] b_t + \\ & + \frac{2}{(H_2)^2} [(H_2)(Y_3 - Y_4)^2 - 2Y_2(H_3)(H_4)] \alpha \Big\} ^2 + \frac{(H_3)(H_4)}{Y_2^2(H_2)} \left\{ \frac{2(H_2)(Y_3 - Y_4)}{Y_3 Y_4} + \frac{4}{Y_3^2(1-Y_4 - \right. \\ & - 2Y_3(H_3))} b_S - \frac{4}{Y_4^2(1-Y_3 - 2Y_4(H_4))} b_t + \frac{4(Y_4 - Y_3)}{1-Y_2} \alpha \Big\} ^2, \end{aligned} \quad (8)$$

$$b_S = \frac{1}{2} \ln(1-Y_3), \quad b_t = \frac{1}{2} \ln(1-Y_4), \quad \alpha = \frac{1}{2} [\Phi(Y_3) + \Phi(Y_4) + \zeta_2 - \ln(H_3)\ln(H_4)],$$

$$\Phi(x) = \int (dt/t) \ln(1-t), \quad \zeta_2 = \pi^2/6.$$

В качестве контроля используемых выражений для спиральных амплитуд Де-Толлиса, мы вычислим вклад в сечение от мнимой части амплитуды $e^+e^- \rightarrow 3\gamma$ по инвариантам $q^2 = 4\varepsilon^2$ при $\varepsilon^2 m^2 \ll m^2$. Имеется кинематическая область в Далиц-плоскости: $\gamma = \varepsilon^2(1-Y_2)/m^2 < 1$, $\delta = \varepsilon^2(H_3)/m^2 < 1$, $t = \varepsilon^2(1-Y_4)/m^2 < 1$, $\varepsilon^2/m^2 > 1$, в которой амплитуда мнимых частей кроме указанной не имеет:

Пользуясь выражениями для инвариантных спиральных амплитуд $\Sigma_{\lambda_2 \lambda_3 \lambda_4}^{(1,2)}$, приведенных в Приложении I получаем:

$$\sum_m \Sigma_{+++}^{(1)} (234) = -\frac{2(H_3)(H_2)}{Y_3 Y_4} \pi \beta, \quad \sum_m \Sigma_{-++}^{(1)} (234) = 0, \quad \sum_m \Sigma_{-+t}^{(2)} (234) = 0,$$

$$\sum_m \Sigma_{++t}^{(2)} (234) = \frac{2(H_2)}{Y_2 Y_4} \pi \beta, \quad \beta = \sqrt{1 - \frac{m^2}{\varepsilon^2}} \ll 1$$

Соответствующий вклад в сечение имеет вид

$$d\bar{\sigma}_{Jm} = \frac{8 d^5 \beta^2}{3! \cdot 3!} \left[\left(\frac{H_2}{Y_3 Y_4} \right)^2 + \left(\frac{H_3}{Y_2 Y_4} \right)^2 + \left(\frac{1-Y_4}{Y_2 Y_3} \right)^2 \right] dy_2 dy_3, \quad S = 4\varepsilon^2 \quad (9)$$

Получим этот результат непосредственным вычислением скачка амплитуды по ε^2 :

$$\frac{e^4}{8\pi^2} \Delta \bar{\sigma}_m = \text{[Diagram]} \quad (9)$$

Здесь множитель $e^4/8\pi^2$ в левой части связан с определением $\bar{\sigma}_m / I$. (В I при вычислении $\bar{\sigma}_m$ учтено лишь три диаграммы вместо шести, отвечающих двум направлениям фермионной петли, кроме того, вместо множителя $(2\pi)^{-4}$ сопоставляемого петле по правилам Фейнмана в I подставлен множитель π^{-2}). Правая часть отвечает амплитуде $\gamma^* \rightarrow 3\gamma$, причем перечеркнутым линиям отвечают реальные частицы.

Пренебрегая поправками $\sim \beta^2$ получим

$$\Delta G_r = 2i \sum_{ij} \bar{U}^i(0) \bar{V}^j(0) \frac{A_{ij}}{e^3} \int \frac{d^3 q_+}{2\varepsilon_+} \frac{d^3 q_-}{2\varepsilon_-} \delta^{(4)}(q_+ + q_- - q) = 2i \sum_{ij} \bar{U}^i(0) \bar{V}^j(0) \frac{A_{ij}}{e^3} \frac{\pi^2}{2}.$$

Здесь i, j – характеризуют поляризации фермионов, A_{ij} – амплитуда аннигиляции в покое в три фотона. Пользуясь калибровочной инвариантностью запишем $\overline{\Delta G_r} (\Delta G_r)^* = \frac{1}{3} \Delta G_\lambda (\Delta G_\lambda)^* \times$

$$\times (g_{\mu\nu} - q_\mu q_\nu/q^2) \Rightarrow \frac{1}{3} |\Delta G_\lambda|^2 g_{\mu\nu}. \quad \text{Поскольку}$$

$$\bar{U}^i(0) \bar{V}^j(0) [\bar{U}^i(0) \bar{V}^j(0)]^* = -4m^2 (2\delta_{ii} \delta_{jj} - \delta_{ij} \delta_{ji})$$

и $\delta_{ij} A_{ij} = 0$ (аннигиляция происходит лишь в тройном состоянии) получим

$$\begin{aligned} d\bar{\sigma}_{Jm} &= \frac{\omega^5}{2^7 \pi^4 \delta^3} \delta p \bar{Y}_r P_+ \bar{Y}_t P_- \sum \left(\frac{\Delta G_r}{2} \right) \left(\frac{\Delta G_t}{2} \right)^* \frac{d^3 k_2 d^3 k_3 d^3 k_4}{3! w_2 w_3 w_4} \delta^{(4)}(p_t + p_l - k_2 - k_3 - k_4) = \\ &= \frac{\omega^2 \beta^2}{3 \cdot 2^{11} \pi^3} \sum_{\text{пары}} |A_{ij}|^2 \frac{dy_2 dy_3}{3!} \end{aligned}$$

Л и т е р а т у р а

Подставляя сюда $\sum_{\text{пары}} |A_{ij}|^2 = \frac{2^{12} \pi^3 d^3}{m^2} \left[\left(\frac{1-y_2}{y_3 y_4} \right)^2 + \left(\frac{1-y_3}{y_2 y_4} \right)^2 + \left(\frac{1-y_4}{y_2 y_3} \right)^2 \right]$,
(см./2/ § 89) приходим к результату (9).

Проведем сравнение с механизмом образования трех струй, происходящих от кварк-антикварковой пары и дополнительного глюона (рис. I, б). Отличие от QED заключается в дополнительном множителе $T_2 t^a t^b = \frac{1}{2}(N^2 - 1) = 4$, учитывающем цветовую структуру. В результате (рис. 4)

$$\frac{d^2 \sigma^{e^+ e^- \rightarrow q\bar{q} g}}{dy_+ dy_-} = 4 \frac{d^2 d_3}{3} Q_q^2 \left\{ \frac{2(y_+^2 + y_-^2)}{3(y_+(y_-))} + \frac{m^2}{3g(y_+(y_-))} \left(8(y_+ - y_-) - \frac{4y^2}{(y_+(y_-))} \right) - \frac{8}{3} \left(\frac{m^2}{3} \right)^2 \frac{y^2}{(y_+(y_-))^2} \right\}, \quad y = 2 - y_+ - y_-, \quad y_\pm = \frac{\varepsilon_\pm}{\varepsilon}. \quad (\text{IO})$$

В асимптотике $m^2/\varepsilon^2 \rightarrow 0$ это выражение имеет вид:

$$\frac{d\sigma^{e^+ e^- \rightarrow q\bar{q} g}}{dy_+ dy_-} = \frac{8 d^2 d_3}{3g} Q_q^2 \frac{y_+^2 + y_-^2}{(y_+(y_-))}, \quad g = 4\varepsilon^2 \gg m^2. \quad (\text{II})$$

Это распределение имеет "пиковость" при $y_\pm \rightarrow 1$. Однако эта область не имеет отношения к трехструйным процессам, поскольку в ней реализуется случай двух струй. Чтобы иметь дело с трехструйными процессами, нужно наложить дополнительные условия: энергия каждой струи больше некоторой и угол

между струями больше заданного θ_m

$$\sin \theta_{ik} = \sqrt{1 - c_{ik}^2} = \frac{2\sqrt{(y_2)(y_3)(y_4)}}{y_i y_k} > \sin \theta_m, \quad y_i > 2 \quad (\text{I2})$$

"Полиме", в такой постановке, сечения приведены в таблице 2.

Приложение I

Величины $\Sigma_{\lambda\lambda\lambda}^{(1,2)}$, используемые нами, как упоминалось в тексте, связаны с используемыми в /I/ $E_{\lambda\lambda\lambda}^{(1,2)}$ следующим образом

$$\Sigma_{\lambda_2\lambda_3\lambda_4}^{(1)}(234) = \Sigma_{\lambda_2\lambda_3\lambda_4}^{(1)}(Y_2, Y_3, Y_4) = \frac{1}{8\varepsilon^2} E_{\lambda_2\lambda_3\lambda_4}^{(1)}(1234),$$

$$\Sigma_{\lambda_2\lambda_3\lambda_4}^{(2)}(234) = \Sigma_{\lambda_2\lambda_3\lambda_4}^{(2)}(Y_2, Y_3, Y_4) = \frac{1}{4} E_{\lambda_2\lambda_3\lambda_4}^{(2)}(1234).$$

Представляя в формулы (69-71) из /I/ значения инвариантов

$$\gamma = \frac{\varepsilon^2}{m^2}(1-Y_2) = \frac{(q-K_2)^2}{4m^2}, \beta = \frac{\varepsilon^2}{m^2}(H_3) = \frac{(q-K_3)^2}{4m^2}, t = \frac{\varepsilon^2}{m^2}(H_4) = \frac{(q-K_4)^2}{4m^2},$$

$$\gamma_1 = -\frac{\varepsilon^2}{m^2}Y_2, \beta_1 = -\frac{\varepsilon^2}{m^2}Y_3, t_1 = -\frac{\varepsilon^2}{m^2}Y_4, \mu_1 = -\frac{\varepsilon^2}{m^2},$$

представим их в виде:

$$\begin{aligned} \Sigma_{+++}^{(1)}(234) &= \frac{2(H_3)(H_4)}{Y_3} + \left[\frac{4(H_3)^2(H_4)}{Y_3(1-Y_2)} + \frac{4(H_3)(H_4)}{Y_3^2} - \frac{2(H_3)^2}{Y_3} \right] (B(3)-B(-\mu_1)) + \\ &+ \left[\frac{4(H_3)(H_4)}{1-Y_2} + \frac{2(H_3)(H_4)}{Y_4} \right] (B(t)-B(-\mu_1)) + \left[\frac{2(H_3)(Y_4-Y_3)}{1-Y_2} - \frac{4(H_3)^2(H_4)}{(1-Y_2)^2} \right] (T(3)+T(t)- \\ &- T(-\mu_1)-I_0(3,t,\mu_1)) + \frac{m^2}{\varepsilon^2} \left\{ \left(\frac{H_3}{1-Y_2} + \frac{H_3}{1-Y_4} \right) T(2) + \left(\frac{3(1-Y_3)}{Y_3} - \frac{2(H_3)(H_4)}{Y_3^2} - \frac{H_3}{1-Y_2} - \frac{1-Y_3}{1-Y_4} - \right. \right. \\ &\left. \left. - 1 \right) T(3) - \left(\frac{1-Y_3}{Y_4} + \frac{H_3}{1-Y_2} \right) T(t) + \left(-\frac{3(1-Y_2)}{Y_3} + \frac{1-Y_3}{Y_4} + \frac{2(H_3)(H_4)}{Y_3^2} + \frac{H_3}{1-Y_2} + \frac{H_3}{1-Y_4} \right) T(-\mu_1) + \right. \\ &\left. + \frac{Y_2(Y_4-Y_3)}{(1-Y_2)(1-Y_4)} I_0(2,3,\mu_1) - \frac{Y_2(1-Y_3)}{(1-Y_2)(1-Y_4)} I_0(2,t,\mu_1) + \left(2 - \frac{H_3}{1-Y_4} + \frac{3(H_3)}{1-Y_2} \right) I_0(3,t,\mu_1) \right\}, \end{aligned}$$

$$\Sigma_{-++}^{(1)}(234) = \frac{m^2}{\varepsilon^2} \left\{ \left(\frac{H_3}{1-Y_4} - \frac{H_3}{1-Y_2} \right) [T(2)+T(3)+T(t)-T(-\mu_1)] - \frac{Y_2}{1-Y_4} I_0(2,3,\mu_1) + \frac{Y_4}{1-Y_2} I_0(3,t,\mu_1) \right\},$$

$$\begin{aligned} \Sigma_{++-}^{(2)}(234) &= \left[\frac{4(H_3)}{1-Y_2} - \frac{2(H_3)}{Y_3} \right] (B(3)-B(-\mu_1)) + \left[\frac{4(H_4)}{1-Y_2} - \frac{2(H_4)}{Y_4} \right] (B(t)-B(-\mu_1)) - \\ &- \left[\frac{4(H_3)(H_4)}{(1-Y_2)^2} + \frac{2Y_2}{1-Y_2} \right] (T(3)+T(t)-T(-\mu_1)-I_0(3,t,\mu_1)) + \frac{m^2}{\varepsilon^2} \left\{ -\left(\frac{1}{1-Y_2} + \frac{1}{1-Y_3} + \right. \right. \\ &\left. \left. + \frac{1}{1-Y_4} \right) T(2) - \left(\frac{1-Y_2}{Y_3(1-Y_4)} + \frac{3}{1-Y_2} \right) T(3) - \left(\frac{1-Y_2}{Y_4(1-Y_3)} + \frac{3}{1-Y_2} \right) T(t) + \left(\frac{Y_2}{(1-Y_3)(1-Y_4)} - \right. \right. \\ &\left. \left. - \frac{Y_2}{1-Y_2} \right) T(-\mu_1) \right\}, \end{aligned}$$

$$\begin{aligned} &- \frac{1}{Y_3} - \frac{1}{Y_4} + \frac{3}{1-Y_2}) T(2) + \left(\frac{1-H_4}{(H_2)(H_3)} + \frac{Y_3}{(H_2)(H_4)} + \frac{m^2}{\varepsilon^2(H_2)(H_3)} \right) I_0(2,3,\mu_1) + \left(\frac{H_3}{(H_2)(H_4)} + \right. \\ &\left. + \frac{Y_4}{(H_3)(H_2)} + \frac{m^2}{\varepsilon^2(H_3)(H_4)} \right) I_0(2,t,\mu_1) + \left(\frac{Y_2}{(1-Y_3)(H_4)} + \frac{5}{H_2} + \frac{m^2}{\varepsilon^2(H_3)(H_4)} \right) I_0(3,t,\mu_1), \end{aligned}$$

$$\Sigma_{-+-}^{(2)}(234) = -2 + \frac{m^2}{\varepsilon^2} \left\{ - \left(\frac{1}{H_2} + \frac{1}{H_3} + \frac{1}{H_4} \right) (T(2)+T(3)+T(t)-T(-\mu_1)) + \left(\frac{1}{H_3} + \frac{m^2}{\varepsilon^2(H_2)(H_3)} \right) \times \right.$$

$$I_0(2,3,\mu_1) + \left(\frac{1}{H_3} + \frac{m^2}{\varepsilon^2(H_2)(H_3)} \right) I_0(2,t,\mu_1) + \left(\frac{1}{H_2} + \frac{m^2}{\varepsilon^2(H_3)(H_4)} \right) I_0(3,t,\mu_1) \}.$$

Входящие в (I.I) специальные имеют вид (/I/, App II):

$$B(z) = \frac{1}{2} \int_0^1 dx \ln(1-i\varepsilon-z(x^4)), \quad B(z) = -1 + \sqrt{\frac{1}{z}-1} \arctan \sqrt{z}, \quad z < 1$$

$$B(z) = -1 + \sqrt{1-\frac{1}{z}} \ln(\sqrt{z}+\sqrt{z-1}) - \frac{i\pi}{2} \sqrt{1-\frac{1}{z}}, \quad z > 1;$$

$$T(z) = \int_0^1 dx \frac{\ln(1-i\varepsilon-z(x^4))}{1-x^2}, \quad T(z) = -(\arctan \sqrt{z})^2, \quad z < 1,$$

$$T(z) = -\frac{\pi^2}{4} + \ln^2(\sqrt{z}+\sqrt{z-1}) - i\pi \ln(\sqrt{z}+\sqrt{z-1}), \quad z > 1.$$

Величина $I_0(2,t,\mu_1) = F(z, \alpha_{2t}) + F(t, \alpha_{2t}) - F(\mu_1, \alpha_{2t})$, $\alpha_{2t} = \sqrt{1+\frac{3}{2t}} > 1$,

$$F(z, \alpha) = \int_0^1 \frac{dx}{\alpha^2-x^2} \ln(1-i\varepsilon-z(x^4)), \quad F(z, \alpha) = \int_0^1 \frac{dx}{\alpha^2-x^2} \ln(1-z(x^2)), \quad z < 1,$$

$$F(z, \alpha) = \frac{1}{2\alpha} \left\{ \ln[\alpha(\alpha^2-\beta^2)] \ln \frac{\alpha+i}{\alpha-i} + \phi\left(\frac{\alpha+i}{\alpha+\beta}\right) + \phi\left(\frac{\alpha+i}{\alpha-\beta}\right) - \phi\left(\frac{\alpha-i}{\alpha+\beta}\right) - \phi\left(\frac{\alpha-i}{\alpha-\beta}\right) \right\} +$$

$$+ i \frac{\pi}{2\alpha} \ln \frac{\alpha-\beta}{\alpha+\beta}, \quad z > 1, \quad \beta = \sqrt{1-\frac{1}{z}},$$

$$\text{где } \phi(x) = \int_0^x dt \ln|1-t|.$$

Для больших значений инвариантов $2, t, 3, -\mu_1$, полезно соотношение $F(3, \alpha_{3t}) - T(3) = -\frac{1}{2} \phi\left(\frac{Y_3}{1-Y_4}\right) + \frac{m^2}{12} + i \frac{\pi}{2} \ln \frac{Y_3}{1-Y_4}$. Так, пользуясь им, можно получить

$$T(3) + T(t) - T(-\mu_1) - I_0(3,t,\mu_1) = \frac{1}{2} \left[\frac{\pi^2}{6} + \phi(Y_3) + \phi(Y_4) - \ln(Y_3) \ln(Y_4) \right].$$

Пределные значения $\Sigma_{\lambda\lambda\lambda}^{(i)}$ в асимптотике на границах Дали-плоскости приведены в таблице I. В выражении для квадрата модуля матричного элемента (I) входят кроме приведенных $\Sigma_{++-}^{(1,2)}(234)$ еще и $\Sigma_{-+-}^{(1,2)}, \Sigma_{+-+}^{(1,2)}$, которые строятся из приведенных в (I, I) с помощью соотношений [1, (68)]:

$$\Sigma_{-+-}^{(1)}(234) = \Sigma_{++-}^{(1)}(432), \quad \Sigma_{-+-}^{(1)}(234) = -\frac{y_2}{y_3} \Sigma_{++-}^{(1)}(324) + \frac{y_4}{y_3} \Sigma_{++-}^{(1)}(342),$$

$$\Sigma_{-+-}^{(2)}(234) = \Sigma_{++-}^{(2)}(324), \quad \Sigma_{-+-}^{(2)}(234) = \Sigma_{++-}^{(2)}(432).$$

Таблица I

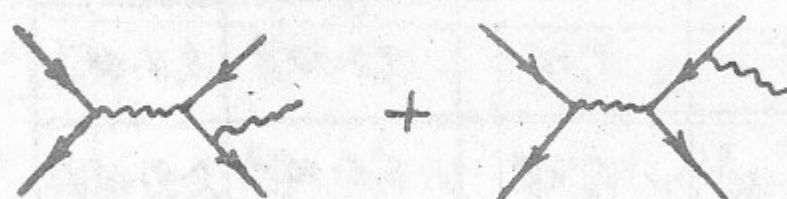
	$y_2 \rightarrow 1, y_3 \sim 1$	$y_3 \rightarrow 1, y_4 \sim 1$	$y_4 \rightarrow 1, y_2 \sim 1$
$\Sigma_{++-}^{(1)}(234)$	$(1+y_3) + l_0 y_3 + \frac{1+y_3}{y_3} l_0 (1+y_3)$	0	$\frac{y_2^2}{1-y_2} \left[-(1+l_0(1+y_3)) l_0 y_2 + \phi(l_0 y_2) \right]$
$\Sigma_{-+-}^{(1)}(234)$	0	0	0
$\Sigma_{++-}^{(2)}(234)$	$-1 - \frac{1}{1+y_3} l_0 y_3 - \frac{1}{y_3} l_0 (1+y_3)$	$\frac{1+y_4}{y_4} \left[(1+l_0(1+y_3)) l_0 y_4 - \phi(y_4) \right]$	$\frac{y_2}{1-y_2} \left[(1+l_0(1+y_4)) l_0 y_2 - \phi(l_0 y_2) \right]$
$\Sigma_{-+-}^{(2)}(234)$	-2	-2	-2

γ	θ_m	$\sigma(e\bar{e} \rightarrow g\bar{g})$	$\sigma(e\bar{e} \rightarrow ggg)$ $\epsilon/m \gg 1$	$\sigma(e\bar{e} \rightarrow ggg)$ $\epsilon/m = 1$
0,1	60°	1,07	$6 \cdot 10^{-3}$	$2,5 \cdot 10^{-3}$
0,1	30°	2,16	$9,2 \cdot 10^{-3}$	$9,4 \cdot 10^{-3}$
0,05	60°	1,42	$6,6 \cdot 10^{-3}$	$2,9 \cdot 10^{-3}$
0,05	30°	2,96	$9,6 \cdot 10^{-3}$	$11,5 \cdot 10^{-3}$

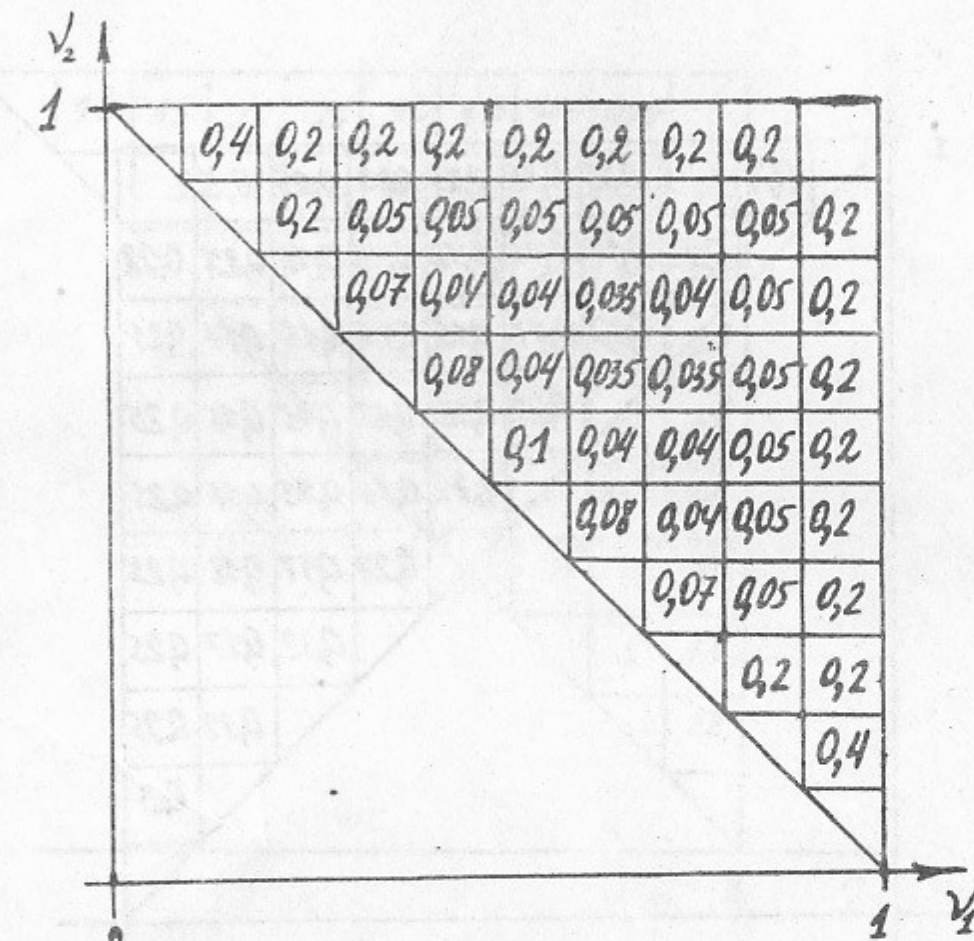
Таблица II. Полные сечения при различных γ (минимальная энергия глюона) и θ_m (минимальный угол между глюонами) для $\epsilon/m \gg 1$ и $\epsilon/m = 1$ в нанобарнах.



Puc. 1a



Pue. 18



Puc2

Распределение в Далиц-плоскости для реакции $e^+e^- \rightarrow ggg$ (при $\varepsilon/m = 1$). В каждой клетке указано сечение в пикабарнах.

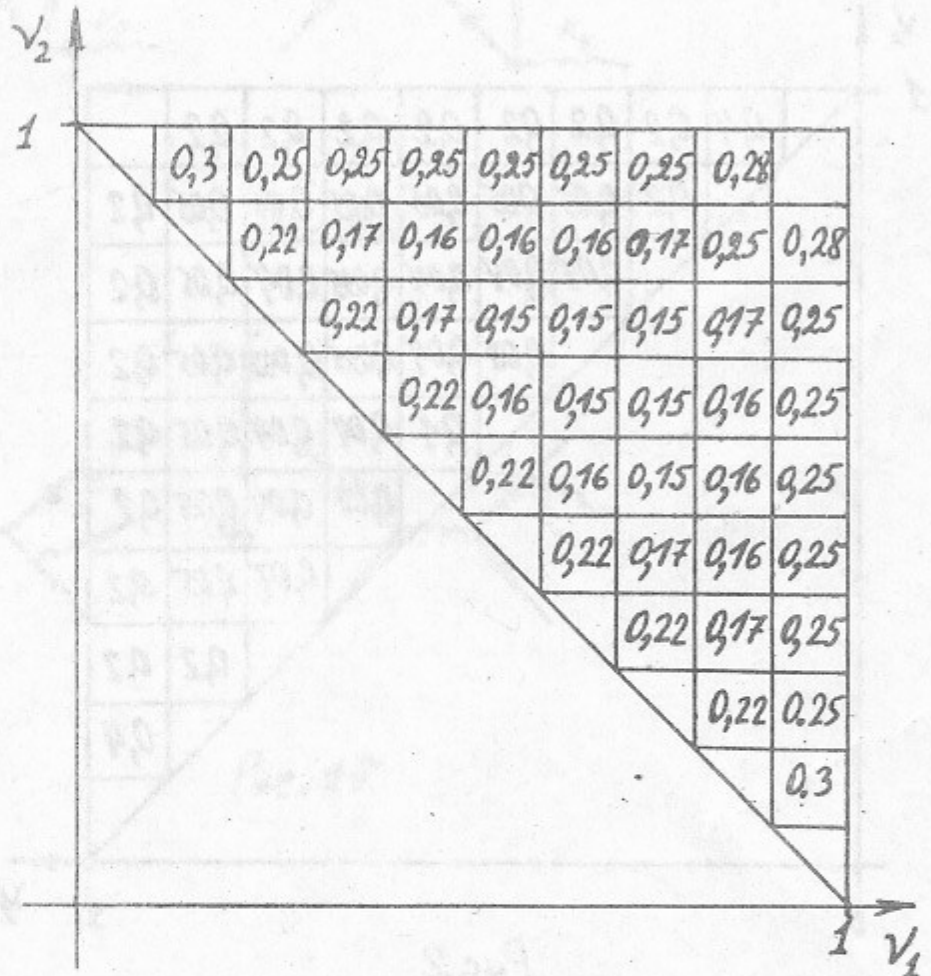


Рис. 3

Распределение в Далиц-плоскости для реакции $e^+e^- \rightarrow \gamma\gamma\gamma$ (при $\epsilon/m \gg 1$). В каждой клетке указано сечение в пинобарах.

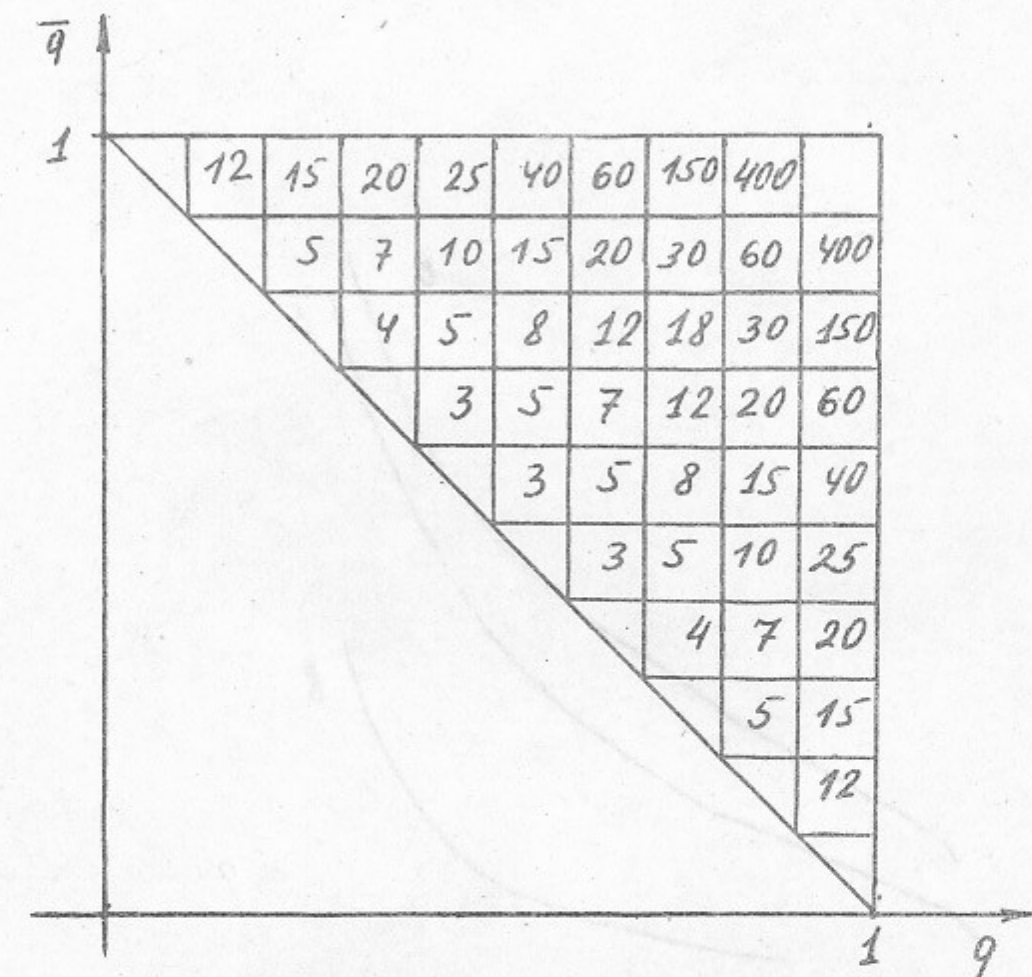


Рис. 4

Распределение в Далиц-плоскости для реакции $e^+e^- \rightarrow 9\bar{g}$ (при $\epsilon/m \gg 1$). В каждой клетке указано сечение в пинобарах.

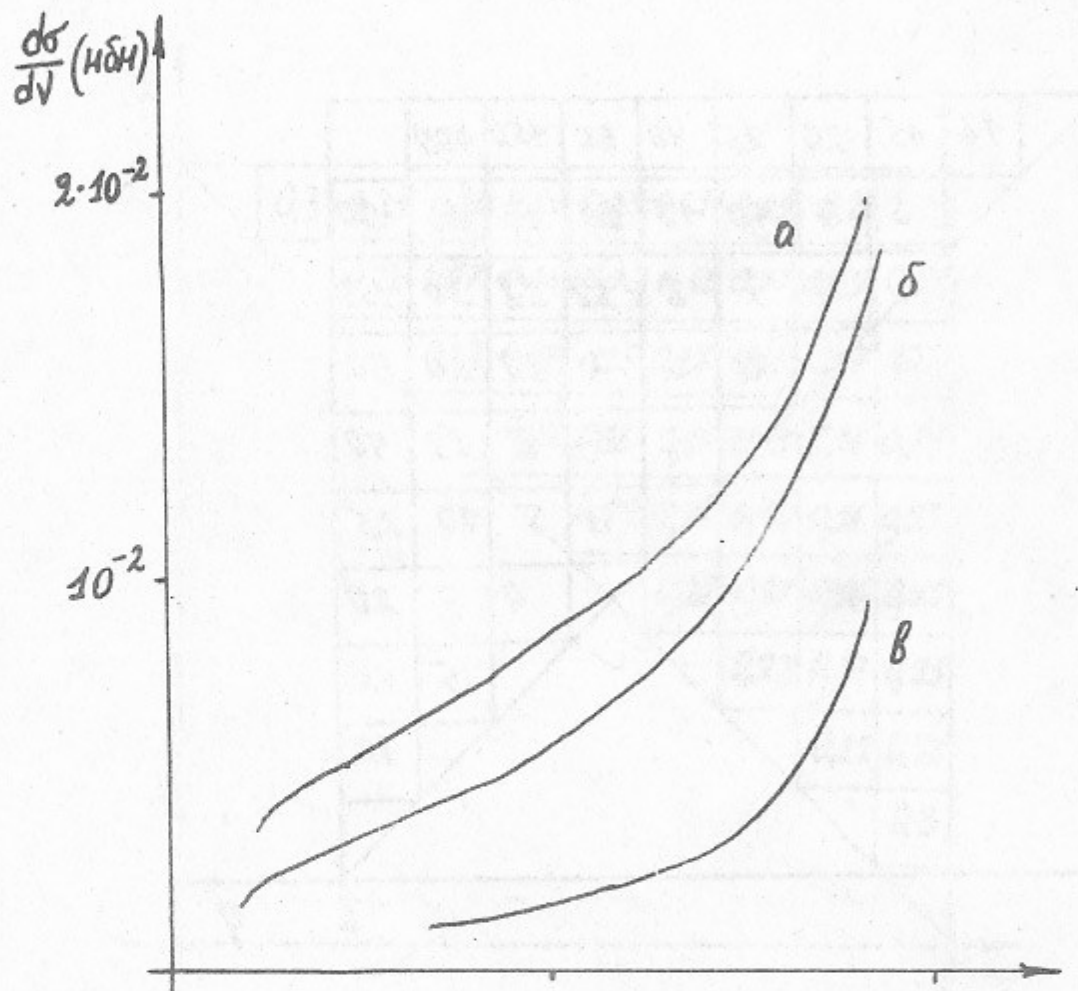


Рис.5

Инклизивные сечения для реакции $e^+e^- \rightarrow \gamma\gamma$

- a) $\varepsilon/m > I$, $\theta_m = 30^\circ$;
- б) $\varepsilon/m > I$, $\theta_m = 60^\circ$;
- в) $\varepsilon/m = I$, $\theta_m = 60^\circ$.

Работа поступила - 13 марта 1979 г.

Ответственный за выпуск - С.Г.ПОПОВ
 Подписано к печати 22.III-1979 г. № 07413
 Усл. 1,0 печ.л., 0,9 учетно-изд.л.
 Тираж 200 экз. Бесплатно
 Заказ № 13.

Отпечатано на ротапринте ИЯФ СО АН СССР